

ПОБЛОЧНІ КРИПТОГРАФІЧНІ ПЕРЕТВОРЕННЯ ЗОБРАЖЕНЬ НА ОСНОВІ ВЕКТОРНИХ АФІННО-ПЕРЕСТАНОВОЧНИХ ШИФРІВ ТА ЇХ МОДЕЛЮВАННЯ

Вступ. Використання електронних комунікацій викликало гостру необхідність опрацювати, передавати специфічні текстово-графічні документи (ТГД) з таблицями, формулами, малюнками, графіками, діаграмами, підписами, резолюціями, які є 2-D зображеннями. Багато з них містять інформацію з обмеженим доступом, яку як звітність треба надавати у державні органи та засвідчувати їх цифровими підписами. Для цього використовуються методи криптографічних перетворень (КП) інформаційних об'єктів (ІО), зображень (З), шифри і протоколи формування для них ключів. Більшість КП зорієнтовані на послідовну скалярну обробку блоків ТГД. Поява паралельних алгоритмів та матричних багатопроцесорних засобів потребує створення і відповідних моделей матричного типу (МТ) для КП [1-3]. А тому **актуальним є завдання пошуку** нових матричних моделей (ММ) та засобів для КП З. Можливості запропонованих узагальнених матричних афінних шифрів (МАШ), матричних афінно-перестановочних шифрів (МАПШ) та їх переваги і застосування висвітлені у [1, 2]. Основною складовою останніх є матричні моделі перестановок (ММ_П), які мають наочну простоту. Проте, як показано в [3], КП З на основі простих ММ_П не змінюють гістограми З, ТГД, а запропоновані модифіковані ММ_П з декомпозицією бітових зрізів хоч і усувають цей недолік, потребують крім двох матричних ключів (МК) ще й двох векторних (ВК). В той же час для ІО, З, файлів значного розміру є потреба окремо опрацювати їх блоки, а кількість та розміри ключів максимально скоротити, але без втрати стійкості КП. **Постановка задачі.** Таким чином є актуальною подальша модифікація відомих МАПШ, ММ_П для КП З з метою їх спрощення, покращення, розширення їх функціональних можливостей та перевірка нових шифрів, моделей шляхом моделювання останніх у програмному середовищі Mathcad та оцінювання якості, стійкості моделей.

Виклад основного матеріалу та результатів дослідження. Короткий огляд МТ шифрів, запропонованих багатофункціональних параметричних блочних шифрів [4], який ми зробимо спочатку, показав, що для досягнення мети доцільно використовувати ізоморфність різних представлень перестановок (матриць чи векторів), що виступають у ролі головного та по-блокових, векторно-матричних ключів (ВМК) та не є скалярними. Сутність поблочних КП З полягає в декомпозиції З на блоки, наприклад на 256-байтні вектори (в нас рядок З). До кожного блоку для прямого та оберненого КП застосовуємо векторний афінно-перестановочний шифр (ВАПШ), що є підвидом МАПШ, та один зі створюваних з головного ключа (ГК) під-ключів (ПК), що являють собою матриці перестановок P (її степені !) чи ізоморфні їм вектори. Спочатку виконується перестановка байтів блока, а потім тим же ПК (вектором) на основі ВАПШ адитивне (в загальному адитивно-мультиплікативне) КП байтів блока. На рис. 1-4 зображені результати моделювання у Mathcad поблочних КП на основі модифікованих ВАПШ для деяких видів зображень.

$$\begin{aligned}
 & \text{VIC}_{\text{Dnewkp}} = \text{submatrix}(\text{PIC_SD_kp_kp}, 0, 255) \\
 & \text{C_VIC}_{\text{Dnewkp}} = \text{VIC}_{\text{Dnewkp}} \cdot P_{\text{kp}} \\
 & \text{C_VIC}_{\text{DnewVkp}} = (\text{C_VIC}_{\text{Dnewkp}} + \text{Key}_{\text{w}_5} \cdot T) \\
 & \text{C_VIC}_{\text{Dnewkp}} = (\text{mod}(\text{C_VIC}_{\text{DnewVkp}}, 256)) \\
 & \text{DC_VIC}_{\text{Dnewkp}} = ((\text{C_VIC}_{\text{Dnewkp}} - \text{Key}_{\text{w}_5} \cdot T)) \\
 & \text{DC_VIC}_{\text{Dnewkp}} = (\text{mod}(\text{DC_VIC}_{\text{Dnewkp}}, 256)) \\
 & \text{DC_VIC}_{\text{DnewVkp}} = \text{DC_VIC}_{\text{Dnewkp}} \cdot P_{\text{kp}}
 \end{aligned}$$

Рис. 1. Вікно Mathcad з формулами для прямого та оберненого по-блокового на основі ВАПШ КП З, де Key_{w_5} – векторний ПК, що відповідає матриці перестановок P_{w_5} .

$$\begin{aligned}
 & \text{PIC_SDnewP} = \text{VC0} \leftarrow \text{C_VIC}_{\text{Dnew0}} \\
 & \text{for } \text{kp} \in 1.. \text{kpm} \\
 & \text{VC0} \leftarrow \text{stack}(\text{VC0}, \text{C_VIC}_{\text{Dnewkp}}) \\
 & \text{VC0} \\
 & \text{PIC_SDnewPa} = \text{VC0} \leftarrow \text{C_VIC}_{\text{Dnew0}} \\
 & \text{for } \text{kp} \in 1.. \text{kpm} \\
 & \text{VC0} \leftarrow \text{stack}(\text{VC0}, \text{C_VIC}_{\text{Dnewkp}}) \\
 & \text{VC0} \\
 & \text{PIC_SDVa} = \text{VC0} \leftarrow \text{DC_VIC}_{\text{Dnew0}} \\
 & \text{for } \text{kp} \in 1.. \text{kpm} \\
 & \text{VC0} \leftarrow \text{stack}(\text{VC0}, \text{DC_VIC}_{\text{Dnewkp}}) \\
 & \text{VC0} \\
 & \text{PIC_SDVaP} = \text{VC0} \leftarrow \text{DC_VIC}_{\text{Dnew0}} \\
 & \text{for } \text{kp} \in 1.. \text{kpm} \\
 & \text{VC0} \leftarrow \text{stack}(\text{VC0}, \text{DC_VIC}_{\text{DnewVkp}}) \\
 & \text{VC0} \\
 & \text{R_PnewP} = \text{submatrix}(\text{PIC_SDnewP}, 0, 255, 0, 255) \\
 & \text{R_PnewPa} = \text{submatrix}(\text{PIC_SDnewPa}, 0, 255, 0, 255) \\
 & \text{G_PnewP} = \text{submatrix}(\text{PIC_SDnewP}, 256, 511, 0, 255) \\
 & \text{G_PnewPa} = \text{submatrix}(\text{PIC_SDnewPa}, 256, 511, 0, 255) \\
 & \text{B_PnewP} = \text{submatrix}(\text{PIC_SDnewP}, 512, 767, 0, 255) \\
 & \text{B_PnewPa} = \text{submatrix}(\text{PIC_SDnewPa}, 512, 767, 0, 255) \\
 & \text{R_PnewV} = \text{submatrix}(\text{PIC_SDVa}, 0, 255, 0, 255) \\
 & \text{R_PnewVa} = \text{submatrix}(\text{PIC_SDVaP}, 0, 255, 0, 255) \\
 & \text{G_PnewV} = \text{submatrix}(\text{PIC_SDVa}, 256, 511, 0, 255) \\
 & \text{G_PnewVa} = \text{submatrix}(\text{PIC_SDVaP}, 256, 511, 0, 255) \\
 & \text{B_PnewV} = \text{submatrix}(\text{PIC_SDVa}, 512, 767, 0, 255) \\
 & \text{B_PnewVa} = \text{submatrix}(\text{PIC_SDVaP}, 512, 767, 0, 255)
 \end{aligned}$$

Рис. 2: Вікно Mathcad: Формули для конкатенації блоків, формування спектральних складових криптограми, відновлених розшифрованих З.

Використовуючи як явне кольорове зображення PIC_SD (256*256 ел.), дивись на рис.1 а, формули для шифрування і дешифрування, кожен kp -ий блок З перетворювався у блоки проміжної, вихідної криптограм,

відновлених З, а їх конкатенація за допомогою формул, що на рис. 2, створювала всі необхідні для контролю процесу КП кольорові зображення, дивись рис.3. Як видно, явне З після КП шифром дало якісну криптограму, ентропійно-гістограмний аналіз якої, про що буде доповідатись, підтвердив достатність для такого типу З навіть лише одного адитивного афінного кроку та однакових ПК для блоків. Проте, як видно нз рис. 4, 5 криптограми деяких ТГД при використанні одного ПК для всіх блоків є недостатніми по стійкості, що видно і візуально, та попри це низка ПК, що створюються з ГК, вирішує цю проблему.



Рис. 3. Вікно Mathcad 1. Верхній ряд, зліва направо: явне, після перестановки (1-ий крок), криптограма після ВАПШ; Нижній ряд: відновлене проміжне та рівне явному розшифроване зображення.

Гістограми утворених криптограм, показані на рис. 6, підтверджують збільшення міри невизначеності (ентропії), практично аж до 7,5-7,8 біт. Без знання ГК неможливо відновити З, і як було показано в [2], уже при розмірності ГК, рівній 32*32, забезпечується на сьогодні стійкість МАПШ моделей, бо в нас Р має 256*256, а ВК має 256*8 біт!

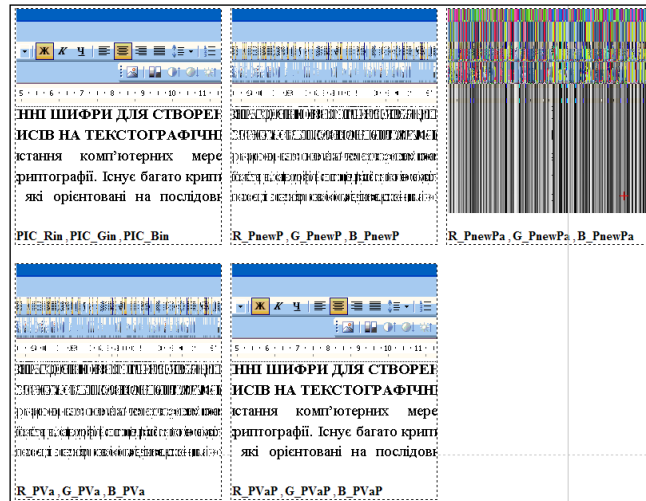


Рис. 4. Вікно Mathcad 2. Верхній ряд, зліва направо: явне, після перестановки (1-ий крок), криптограма після ВАПШ; Нижній ряд: відновлене проміжне та рівне явному розшифроване зображення ТГД.

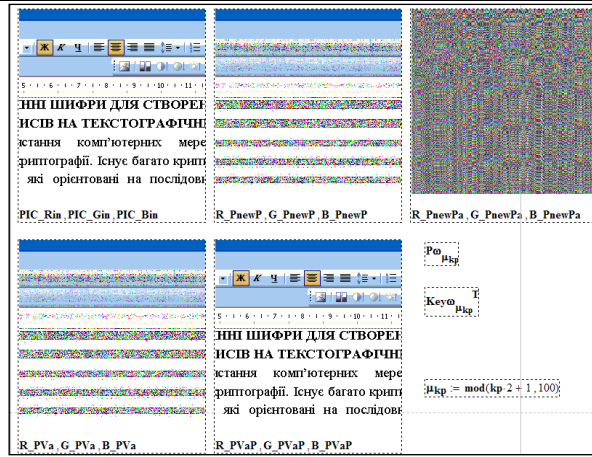


Рис. 5. Результати для випадку різних ПК для блоків (низка сгенерованих у потоці). Верхній ряд, зліва направо: явне, після перестановки (1-ий крок), криптограма після ВАПШ; Нижній ряд: відновлене проміжне та рівне явному розшифроване зображення ТГД.

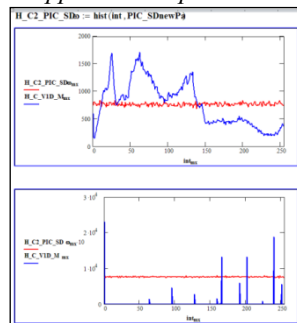


Рис. 6. Аналіз гістограм 1 та 2 явних 3 (сині лінії) та гістограм криптограм (червоні лінії), що мають майже рівномірний розподіл!

Висновки. Результати моделювання підтверджують адекватність запропонованих шифрів та їхні гарні характеристики. При цьому фактично ми використовуємо лише один $256 \cdot 8 = 2024$ -бітний ключ, за допомогою якого формується низка необхідних якісних з точки зору стійкості ПК. Моделі реалізуються матричними процесорами та адаптуються для різноформатних та кольорових зображень, зручні для використання, мають високі ефективність, стійкість, швидкодію.

Література:

1. Красиленко В.Г., Матричні афінні шифри для створення цифрових сліпих підписів на текстографічні документи / В.Г. Красиленко, С.К. Грабовляк // Системи обробки інформації. – Х.: ХУПС, 2011. – Вип. 7(97). – С. 60 – 63.
2. Красиленко В.Г. Матричні афінно-перестановочні шифри для шифрування та дешифрування зображень / В.Г. Красиленко, С.К. Грабовляк // Системи обробки інформації. - Х.: ХУПС, 2012. – Вип. 3 (101).-Т. 2. – С. 53-62.
3. Красиленко В.Г. Криптографічні перетворення зображень на основі матричних моделей перестановок з матрично-біговозрізовою декомпозицією та їх моделювання / В. Г. Красиленко, В. М. Дубчак // Вісник Хмельницького НУ. Технічні науки. - 2014. - № 1. - С. 74 -79.
4. Красиленко В.Г. Багатофункціональні параметричні матрично-алгебраїчні моделі (МММ) криптографічних перетворень (КП) з операціями за модулем та їх моделювання. / В.Г. Красиленко, Д.В. Нікітович. // 72 НТК: матеріали конференції (13-15 грудня 2017 року). – Одеса: ОНАЗ ім. О.С. Попова, 2017. – Частина 1. – С.123-128.